



طراحی و ساخت دستگاه اندازه‌گیری دز پرتوهای گاما با استفاده از ترانزیستورهای ماسفت براساس جابه‌جایی ولتاژ آستانه

سعید بوربور و حمید جعفری*

گروه کاربرد پرتوها، دانشگاه شهید بهشتی، تهران، ایران.

*تهران، دانشگاه شهید بهشتی، گروه کاربرد پرتوها، کدپستی: ۱۹۸۳۹۱۹۴۱۱

پست الکترونیکی: H_jafari@sbu.ac.ir

چکیده

یکی از مسائل بسیار مهم در تأسیسات پرتودهی و مأموریت‌های فضایی، تعیین دز حاصل از ذرات یونیزان موجود در محیط پرتویی است. دزیمترهای ماسفت از جمله ابزارهای اندازه‌گیری دز در این محیط‌ها می‌باشند که علاوه بر حساسیت بسیار بالا نسبت به پرتو، قابلیت تحمل شار بالایی از ذرات را نیز دارند. این ابزار هم‌چنین دارای حجم کوچک، توان مصرفی پایین و قابلیت اطمینان بالا هستند. هدف از این کار، طراحی و ساخت یک سامانه دزیمتر پرتویی ماسفت براساس تغییرات ولتاژ آستانه ترانزیستور می‌باشد. کالیبراسیون پرتویی این سامانه با پرتودهی ماسفت‌ها در دزهای مختلف (از ۵ تا 100 Gy) در آزمایشگاه استاندارد ثانویه SSDL، سازمان انرژی اتمی، کرج انجام گرفت. وابستگی دمایی این ترانزیستورها نیز با توجه به ضربیت تغییرات دمایی در تمامی این اندازه‌گیری‌ها لحاظ شد. نتایج نشان می‌دهد، پاسخ این ماسفت‌ها به دز پرتویی مختلف تقریباً به صورت خطی بوده و دارای حساسیتی در حدود 1 mV/Gy است که می‌توان بسته به محیط پرتوی و ابعاد مورد نیاز این ماسفت‌ها از انواع مختلف آن استفاده کرد.

کلیدواژگان: دزیمتر ماسفت، جابه‌جایی ولتاژ آستانه، منحنی جریان-ولتاژ، ضربیت حساسیت دمایی.

۱. مقدمه

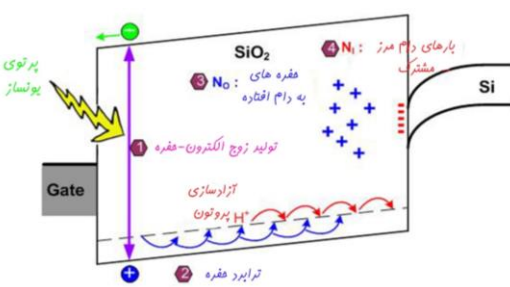
نیمه‌رسانا و به طور خاص ترانزیستورهای ماسفت^۱ به عنوان دزیمتر می‌باشد که اصطلاحاً به آن‌ها رادفت^۲ گفته می‌شود [۴]. ایده استفاده از ترانزیستور ماسفت به عنوان یک ابزار سنجش ذرات یونساز سال‌ها پیش مطرح شده است. اما با این وجود برای استفاده عملی از ترانزیستورهای ماسفت به عنوان دزیمتر باید اصلاحاتی در مرحله ساخت آن انجام شود. به همین دلیل

یکی از مسائل بسیار مهم در محیط‌های کار با پرتوهای یونساز مانند پزشکی هسته‌ای، راکتور، شتابدهنده و مأموریت‌های فضایی، تعیین دز پرتویی می‌باشد [۳-۴]. از آنجایی که محیط‌های پرتویی نامبرده هر کدام دارای انواع مختلفی از پرتوها با طیف وسیعی از انرژی‌ها و شارهای پرتویی هستند، دزیمترهای متنوعی برای اندازه‌گیری دقیق مقدار دز مورد استفاده قرار می‌گیرند. یکی از این موارد استفاده از قطعات

¹ MOSFET

² RADFET

مورد یک میدان به کار رفته در قطعه ماسفت) سوق می‌یابند. تحرک کم حفره‌ها و حضور دام‌ها در نزدیکی مرز مشترک $\text{Si}-\text{SiO}_2$ باعث به دام انداختن حفره‌ها در لایه دی‌اکسیدسیلیکون می‌شود. محل دام‌ها بعد از گیراندازی یک حفره، یک بار مثبت به دست می‌آورد. حضور چنین دام‌های اکسیدی مثبت در لایه عایق آستر گیت از ترانزیستورهای ماسفت و خازن‌ها، ولتاژ آستانه قطعه را جابه‌جا می‌کند و هم‌چنین جریان نشتی را افزایش می‌دهد. مشاهدات تجربی اثبات کرده است که اندازه این جابه‌جایی با مجازور ضخامت اکسید تغییر می‌کند. این فرایندهای اصلی که در پاسخ پرتویی وابسته به زمان مشارکت دارند با شماره‌های ۱ تا ۴ علامت‌گذاری شده‌اند. فرایندهای ۱ تا ۳ ضمن تولید، تراپرد و به دام افتادن حفره‌ها در فیلم SiO_2 انجام می‌شوند و فرایند ۴ نیز با تجمع دام‌های به وجود آمده ناشی از پرتو در مرز مشترک $\text{Si}-\text{SiO}_2$ به‌وقوع می‌پیوندد. دو فرایند اول (۱ و ۲) مربوط به پاسخ کوتاه‌مدت می‌باشند. این پاسخ کوتاه‌مدت در دمای اتاق، در حدود پیکوثانیه تا چندین ثانیه است و بستگی به میدان اعمال شده، نوع پرتو، دما و ضخامت اکسید دارد. فرایندهای ۳ و ۴ مربوط به پاسخ بلندمدت سیستم‌های بر پایه فناوری ماس^۱ می‌باشند. این اثرات پرتویی بلندمدت هستند که از طریق جابه‌جایی‌های پارامتری در قطعات ماسفت مانند جابه‌جایی ولتاژ آستانه معرفی می‌شوند و می‌توانند برای ساعتها و سال‌ها ادامه داشته باشند.



شکل (۱): شماتیکی از فرایندهای اصلی در برخورد پرتوی یونساز برای یک ساختار ماسفت.

استفاده از این ابزار از دو دهه گذشته شروع به افزایش کرد. هم‌کنون به کمک پیشرفت صنایع ساخت قطعات نیمه‌هادی، دزیمترهای ماسفت یکی از پرکاربردترین دزیمترها هستند. قابلیت اطمینان بالا، مقاومت در برابر ضربه، فشار، رطوبت و دیگر عوامل مخرب و هم‌چنین قرائت بسیار آسان، حجم بسیار کوچک آن باعث شده است که در بسیاری موارد ماسفت‌ها به جای دزیمترهایی مانند اتافک یونش، TLD، دیودها و ... استفاده شوند [۵]. در سال‌های اخیر استفاده از دزیمترهای ماسفت به شدت در پرتودرمانی گسترش یافت. به دلیل حجم بسیار کوچک این دزیمترها را می‌توان وارد بدن بیمار کرده و از مقدار واقعی دز در ناحیه مورد نظر اطلاعات به دست آورد. قرائت ساده این دزیمتر سبب شده است که با اتصال بدون سیم هم مقدار دز اندازه‌گیری شده به دستگاه ثبت کننده ارسال شود. هم‌چنین در مواردی که مقدار دز در بیرون بدن مورد نیاز است، این دزیمترها به دلیل سادگی و سرعت بالا در قرائت بر دزیمترهای دیگر ارجحیت دارند [۴]. دزیمترهای ماسفت در مراکز تحقیقاتی مربوط به صنایع فضایی نیز در حال استفاده و تکامل هستند. شرکت‌های سازنده قطعات الکترونیک نیز قسمتی از تولیدات خود را به ساخت این گونه دزیمترها اختصاص داده‌اند. هم‌چنین شرکت‌های بین‌المللی دیگری در زمینه مارژول‌های اندازه‌گیری دزیمترهای ماسفت شروع به کار کرده‌اند [۶].

در شکل ۱ شماتیکی از فرایندهای رخ داده در یک ساختار دزیمتر ماسفت با یک بایاس مثبت اعمال شده به گیت آن بعد از برخورد پرتوی یونساز نشان داده شده است [۷ و ۸]. اتلاف انرژی یونش در دی‌اکسیدسیلیکون (SiO_2) باعث تولید جفت‌های الکترون-حفره می‌شود که به‌طور ذاتی دارای تحرک‌پذیری‌های متفاوتی هستند. کسری از این جفت‌های الکترون-حفره‌ای تولید شده دست‌خوش بازترکیب می‌شوند در حالی که الکترون‌های باقی‌مانده سریعاً به سطح مشترک (در

بر ترانزیستور رابطه تقریباً خطی دارد [۸].

روش‌های متعددی برای استخراج مقدار ولتاژ آستانه وجود دارد و مدارهای استخراج‌جگر مختلفی نیز برای اندازه‌گیری خودکار این پارامتر پیشنهاد شده است [۱۶-۹]. معمولاً، به‌منظور بالابردن اطمینان و کیفیت اندازه‌گیری ولتاژ آستانه ماسفت، در روش‌های آزمایشگاهی از رابطه جریان درین نسبت به ولتاژ گیت در ناحیه کاری اشباع استفاده می‌شود. در ناحیه کاری اشباع، جریان عبوری از درین قابل توجه بوده و با نسبت سیگنال به نویز مناسبی قابل اندازه‌گیری است. با این وجود، اثرات ناشی از مقاومت‌های پارازیتی سری و موازی اتصالات ماسفت و افت قابلیت تحرک بارهای درون کانال در جریان بالا، سبب کاهش دقت اندازه‌گیری نهایی خواهد شد. به‌منظور کاهش این اثرات، بهتر است که با حفظ سیگنال به نویز مناسب، اندازه‌گیری منحنی جریان-ولتاژ در ناحیه کاری خطی انجام شود.

هدف از این کار، طراحی و ساخت یک دستگاه اندازه‌گیری از پرتوهای یونساز از جمله پرتوهای گاما براساس تغییرات ولتاژ آستانه ترازیستور ماسفت در ناحیه کاری خطی می‌باشد.

۲. مواد و روش‌ها

به‌دست آوردن منحنی جریان-ولتاژ و اندازه‌گیری منحنی هدایت انتقالی^۱ یک ماسفت نیازمند ثبت ولتاژ روی قطعه و جریان عبورکننده از قطعه به‌طور همزمان و با دققی مناسب است. همچنین لازم است که منابع ولتاژ کنترل‌شونده‌ای نیز در دستگاه تعییه شود. به‌کمک این منابع، پتانسیل پایه ورودی قطعه در بایاس خاصی تنظیم می‌شود و مقدار جریان و ولتاژ پایانه‌های دیگر قطعه توسط مدارهای اندازه‌گیری سنجیده خواهد شد. به این روش می‌توان آرایه‌ای از ولتاژ ورودی قطعه

تجمع بارهای مثبت در لایه اکسید باعث جابه‌جایی توزیع پتانسیل در این لایه می‌شود. مقدار ولتاژ آستانه ترانزیستور به‌طور مستقیم با پارامتر ولتاژ نوار تخت رابطه دارد. از طرفی مقدار بارهای جمع شده در لایه اکسید مطابق رابطه ۲ ولتاژ نوار تخت ترانزیستور را جابه‌جا می‌کند.

$$V_{fb} = \emptyset_{ms} - \frac{Q_{ss}}{C_{ox}} \quad (1)$$

در این رابطه \emptyset_{ms} ، C_{ox} ، Q_{ss} به ترتیب اختلاف تابع کار بین فلز گیت و نیمه‌هادی بستر ترانزیستور، مقدار بارهای به‌تله‌افتاده در لایه اکسید و ظرفیت خازن لایه اکسید هستند. همان‌طور که در این رابطه ملاحظه می‌گردد، با افزایش مقدار بارهای به‌تله‌افتاده در لایه اکسید، ولتاژ نوار تخت ترانزیستور تغییرات بیشتری می‌کند. از طرفی، مقدار ولتاژ آستانه ترانزیستور به‌طور مستقیم با پارامتر ولتاژ نوار تخت در ارتباط است. بنابراین داریم:

$$\Delta V_{Th} \sim \frac{Q_{ss}}{C_{ox}} \quad (2)$$

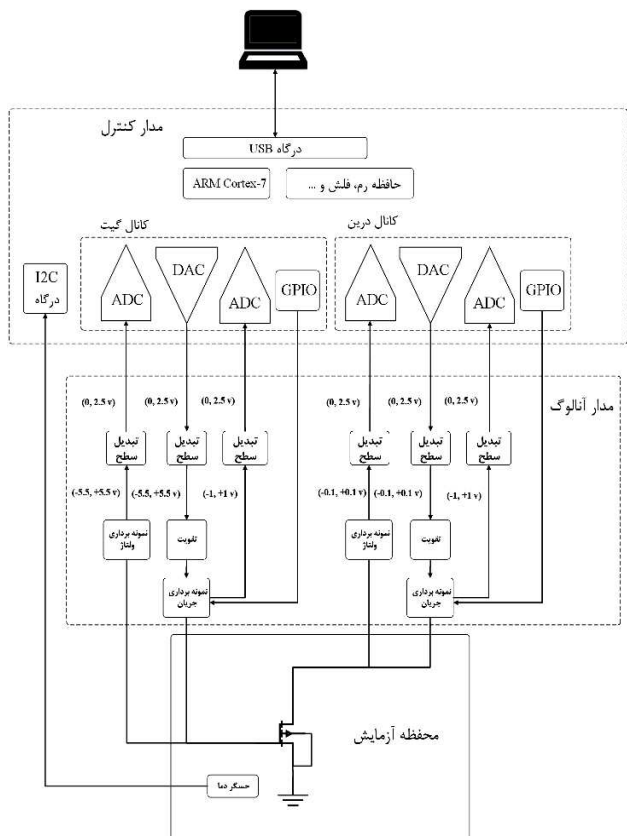
می‌دانیم که مقدار ظرفیت خازنی، به‌طور معکوس با ضخامت لایه عایق در ارتباط است. همچنین، مقدار بار ایجاد شده در لایه عایق گیت به‌طور مستقیم با ضخامت این لایه ارتباط دارد. در نتیجه، برای تغییرات ولتاژ آستانه خواهیم داشت:

$$\Delta V_{Th} \sim D d_{ox}^2 \quad (3)$$

که در این رابطه D و d_{ox} به ترتیب مقدار دز و ضخامت لایه اکسید (عایق گیت) هستند. همان‌طور که ملاحظه می‌شود، مقدار تغییرات ولتاژ آستانه با توان دوم ضخامت لایه اکسید در ارتباط است. در مورد ذیمتر ماسفت نیز، بهترین معیار، تغییرات ولتاژ آستانه ترانزیستور با مقدار دز جذب شده در ترانزیستور است. در آزمایش‌های متنوعی نشان داده شده است که تغییرات ولتاژ آستانه ترانزیستور ماسفت با مقدار تابش وارد

^۱ Trans-conductance

مقدار به محدوده $+2/5$ تا 0 ولت نگاشت شده و توسط مبدل آنالوگ به دیجیتال اندازه‌گیری خواهد شد. هم‌چنین برای اطمینان بیشتر، ولتاژ هر کدام از پایانه‌های ترانزیستور نیز به طور هم‌زمان اندازه‌گیری می‌شود. اندازه‌گیری دمای محیط اطراف قطعه تحت آزمایش توسط یک حسگر دما از نوع LM35 با دقت 0.5°C انجام می‌شود. این حسگر بر روی یک پراب آزمایش قرار گرفته است و توسط کانکتورهای مخصوص به مدار کنترل دستگاه متصل می‌شود.



شکل (۲): بلوك دیاگرام دستگاه رسم کننده منحنی جريان-ولتاژ ساخته شده.

روند اندازه‌گیری منحنی جريان-ولتاژ در شکل ۳ نشان داده شده است. در ابتدا مشخصات اندازه‌گیری از جمله بازه جاروب و لتاژ گیت، اندازه‌گیری شده است. در بعد از انجام فرایند جاروب، به طور خودکار توسط حسگر در کنار قطعه مسافت مورد نظر، اندازه‌گیری شده و به همراه تمامی مقادیر اندازه‌گیری شده از جمله جريان‌ها، ولتاژ‌ها برای ارائه و ترسیم از طریق پورت USB به رایانه ارسال می‌شود. این برنامه، کار رسم منحنی جريان-ولتاژ و نهایتاً استخراج پارامترهای ترانزیستور مانند ولتاژ آستانه را انجام می‌دهد. برای اتصال مدار کنترل به قسمت آنالوگ لازم است که ولتاژ مبدل دیجیتال به آنالوگ به محدوده‌های جاروب مورد نظر نگاشت شود. سپس این سیگنال بافر شده و به سمت خروجی دستگاه هدایت می‌شود. جريان الکتریکی گذرنده از این مسیر، توسط یک مدار اندازه‌گیری جريان، به ولتاژی بين $+1$ تا -1 ولت تبدیل می‌شود. سپس این

و جريان خروجی قطعه به دست آورد. با رسم اين آرایه، منحنی مشخصه جريان-ولتاژ قطعه به دست می‌آيد.

بلوك دیاگرامی از دستگاه اندازه‌گیری منحنی جريان-ولتاژ طراحی و ساخته شده در شکل ۲ نشان داده شده است. در قسمت دیجیتال و کنترل دستگاه از يك ميكروكنترل STM32H750 استفاده شده است. اين ميكروكنترل مجهز به مبدل آنالوگ به دیجیتال ۱۶ بیتی، مبدل دیجیتال به آنالوگ ۱۲ بیتی، پردازنده ARM، حافظه رم، فلاش و درگاه‌های ارتباطی از قبیل I2C، USART، USB، I2C و ... می‌باشد. بنابراین نیاز به استفاده از ادوات جانبی برای تبدیل سیگنال‌ها بر طرف می‌گردد. در قسمت آنالوگ دستگاه دو کanal جداگانه برای درین و گیت درنظر گرفته شده است. این دو کanal مشابه یکدیگر هستند، با این تفاوت که گستره جاروب ولتاژ درین در محدوده $+100$ تا -100 میلی‌ولت و گستره جاروب ولتاژ گیت در محدوده $+5/5$ تا $-5/5$ ولت قرار دارد. مشخصات اندازه‌گیری از جمله بازه جاروب ولتاژ گیت، اندازه گام حرکت در جاروب ولتاژ گیت و ولتاژ درین از سوی کاربر توسط نرم‌افزار نوشته شده در محیط MATLAB دریافت می‌شود. دمای قطعه در قبل و بعد از انجام فرایند جاروب، به طور خودکار توسط حسگر در کنار قطعه مسافت مورد نظر، اندازه‌گیری شده و به همراه تمامی مقادیر اندازه‌گیری شده از جمله جريان‌ها، ولتاژ‌ها برای ارائه و ترسیم از طریق پورت USB به رایانه ارسال می‌شود. این برنامه، کار رسم منحنی جريان-ولتاژ و نهایتاً استخراج پارامترهای ترانزیستور مانند ولتاژ آستانه را انجام می‌دهد. برای اتصال مدار کنترل به قسمت آنالوگ لازم است که ولتاژ مبدل دیجیتال به آنالوگ به محدوده‌های جاروب مورد نظر نگاشت شود. سپس این سیگنال بافر شده و به سمت خروجی دستگاه هدایت می‌شود. جريان الکتریکی گذرنده از این مسیر، توسط یک مدار اندازه‌گیری جريان، به ولتاژی بين $+1$ تا -1 ولت تبدیل می‌شود. سپس این

نمای ظاهری دستگاه ساخته شده به همراه جعبه مدار واسطه برای اتصال و خوانش قطعات ماسفت مجهز به سنسور دمایی در شکل ۴ نشان داده شده است. همان‌طور که مشاهده می‌شود، برای اتصال قطعه تحت آزمایش به دستگاه، کانکتورهایی بر روی دستگاه تعییه شده است. توسط این کانکتورها، حفاظت، سیگنال اصلی و سیگنال پسخورد برای پایانه‌های گیت، درین و سورس، به پرتاب آزمایش متصل می‌شود. هم‌چنین کانکتور جداگانه‌ای بر روی دستگاه برای اتصال به حسگر دمای موجود در محفظه پرتاب فراهم آورده شده است.

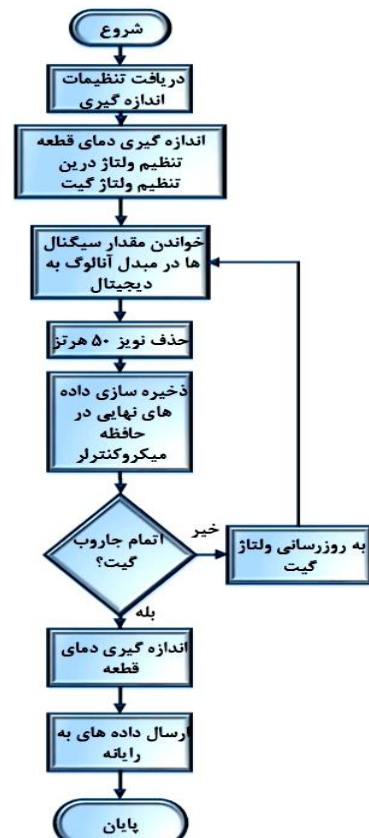


شکل (۴): نمای ظاهری دستگاه رسم کننده منحنی جریان-ولتاژ ساخته شده به همراه جعبه مدار واسطه برای اتصال و خوانش قطعات ماسفت.

در این کار، سه مدل ترانزیستور ماسفت مختلف از نوع P و N شامل ۳N165، J177 و k1398 به عنوان دزیمتر انتخاب و تهیه شده است. قطعه k1398 به صورت SMD تهیه شده است. ویژگی‌های مهم این قطعات از جمله، حداکثر ولتاژ قابل تحمل گیت و جریان نشتی آن‌ها در جدول ۱ آورده شده است. ولتاژ گیت قابل تحمل این سه قطعه به ترتیب ۴۰، ۳۰ و ۵۰ ولت می‌باشد. بنابراین این قطعات ۳ ناحیه حساسیت گوناگون برای دزسنجی را فراهم می‌کنند. از طرفی، تمامی این قطعات از نوع ماسفت تخت هستند که کار با آن‌ها را ساده می‌کنند.

فرایند جاروب، ابتدا پتانسیل پایانه درین در ولتاژ تعیین شده از سوی کاربر قرار می‌گیرد. هم‌چنین، پتانسیل گیت نیز در اولین نقطه اندازه‌گیری تنظیم می‌شود. مقدار مبدل آنالوگ به دیجیتال برای دفعاتی با فاصله زمانی مناسب خوانده می‌شود. با به کارگیری منطق فیلتر دیجیتال در میکروکنترلر، هارمونی ۵۰ هرتز از سیگنال‌ها حذف می‌شود. سپس این مقادیر پالایش شده با توجه به ساختار قسمت آنالوگ دستگاه به مقادیر ولتاژ و جریان درین و گیت تبدیل شده و در آرایه‌هایی درون حافظه میکروکنترلر ذخیره می‌شوند.

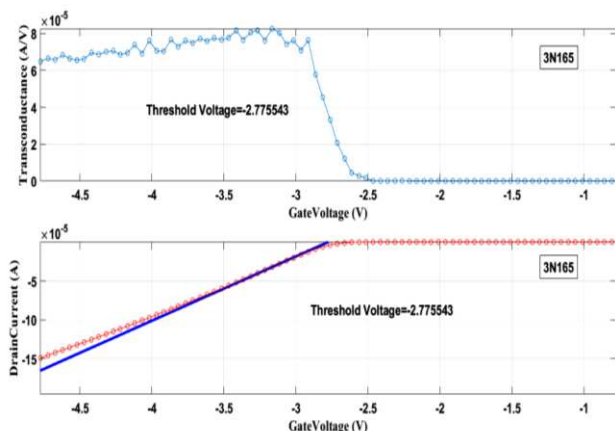
پس از اندازه‌گیری مقادیر در یک ولتاژ گیت، مقدار این ولتاژ با توجه به گام جاروب، به روزرسانی شده و پتانسیل گیت در مقدار جدید تنظیم می‌شود. در صورتی که تمام نقاط مورد نظر، جاروب شده باشند، دمای قطعه بار دیگر اندازه‌گیری خواهد شد. با درخواست رایانه، تمامی مقادیر اندازه‌گیری شده از جمله جریان‌ها، ولتاژ‌ها و دمایها به رایانه ارسال می‌شود.



شکل (۳): روند اندازه‌گیری منحنی جریان-ولتاژ دستگاه ساخته شده.

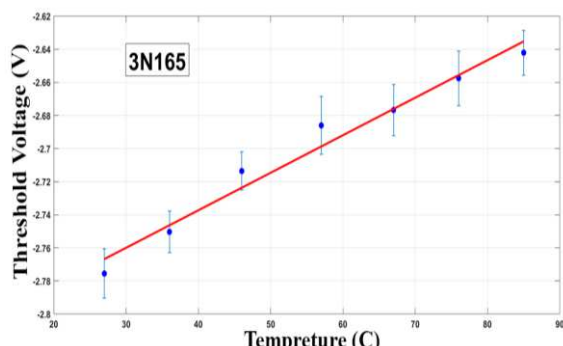
۳. نتایج

در شکل ۶ منحنی مشخصه‌های جریان درین بر حسب ولتاژ گیت و مشخصه‌های g_m - V_g (ضریب هدايت متقابل بر حسب ولتاژ گیت) برای تعیین ولتاژ آستانه ماسفت 3N165 نشان داده است. این منحنی تحت ولتاژ درین-سورس ۱۰ میلی ولت ثبت شده است. در شرایط دمای محیط، ولتاژ آستانه به دست آمده برابر با $V = 2.775 \pm 0.015$ می باشد.



شکل (۶): منحنی ضریب هدايت متقابل-ولتاژ و جریان-ولتاژ ترانزیستور ماسفت 3N165.

وابستگی دمایی ولتاژ آستانه ترانزیستورهای 3N165 در شکل ۷ نشان داده شده است. در هر دما سه ترانزیستور اندازه‌گیری شده است و مقادیر به صورت میانگین و خطای آن آورده شده است. در این جا نیز ملاحظه می شود که مقدار ولتاژ آستانه ترانزیستورها به صورت خطی با دما تغییر می کند. ضریب تغییرات دمایی ولتاژ آستانه برای این نوع ترانزیستورها برابر $55/9 \pm 20/0$ mV/°C می باشد.



شکل (۷): وابستگی دمایی ولتاژ آستانه ترانزیستورهای 3N165

جدول (۱): مشخصات قطعات انتخاب شده به عنوان دزسنج ماسفت.

نام قطعه	نوع ماسفت	تعداد ترانزیستور	جریان نشی	ولتاژ قابل تحمل گیت
		در هر بسته‌بندی	گیت (pA)	(V)
۱۰ >	PMOS	۲	3N165	۱/۳۸
۱۰۰ >	PMOS	۱	J177	۱/۲۱
۵۰۰ >	NMOS	۱	K1398	۱/۴۵

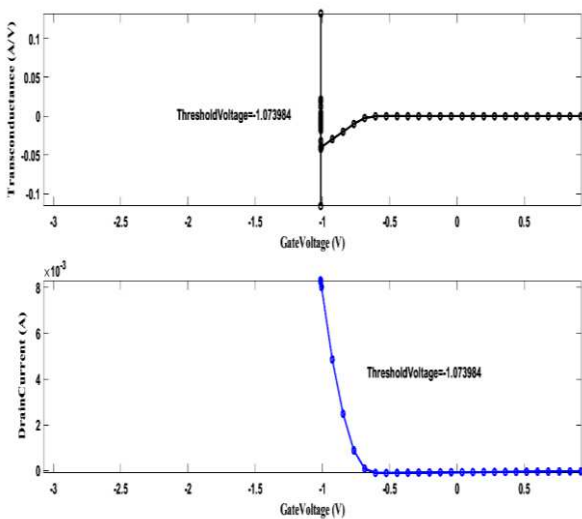
تست پرتویی به منظور کالیبراسیون این سامانه دزیمتري انجام شد و ماسفت‌ها در معرض پرتوی گامایی چشممه استاندارد (دزهای ۵، ۱۰، ۲۰، ۴۰، ۶۰ و ۱۰۰ گری (Gy) قرار داده شده‌اند. به این منظور از آزمایشگاه استاندارد ثانویه (SSDL)، سازمان انرژی اتمی کرج استفاده شده است. هم‌چنین به منظور بررسی تست پایداری، از هر مدل ماسفت ۳ عدد مورد پرتودهی قرار گرفته و قرائت منحنی جریان-ولتاژ هر کدام از آن‌ها نیز در ۳ مرتبه جداگانه انجام شده است. در نهایت، میانگین تمامی این داده‌ها به همراه انحراف از معیار مشاهده شده در هر دز، گزارش شده است. در شکل ۵، سیستم پرتودهی آزمایشگاه SSDL کرج به همراه برد قرارگیری قطعات ماسفت مختلف در هر بار پرتوگیری نشان داده شده است. پرتودهی قطعات در بایاس صفر انجام شده است. هم‌چنین برای حذف اثر دما در اندازه‌گیری ولتاژ آستانه، ضریب وابستگی دمایی ولتاژ آستانه ترانزیستورها به دما، اندازه‌گیری شده است.



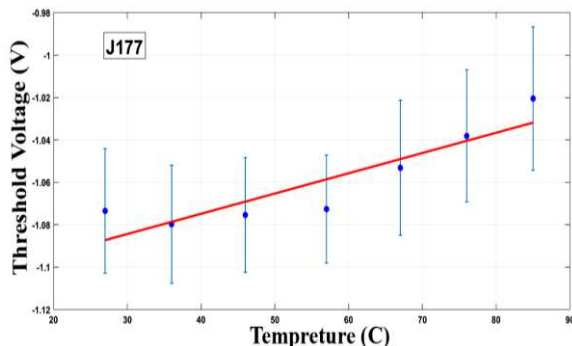
شکل (۵): سیستم پرتودهی آزمایشگاه SSDL کرج و برد قرارگیری قطعات ماسفت.

^۱ Secondary Standard Dosimetry Laboratory (SSDL)

آورده شده است. در این جا نیز ملاحظه می‌شود که مقدار ولتاژ آستانه ترانزیستورها به صورت خطی با دما تغییر می‌کند. ضریب تغییرات دمایی برای این نوع ترانزیستورها برابر $21/6 \pm 0/71 \text{ mV}^{\circ}\text{C}$ است.



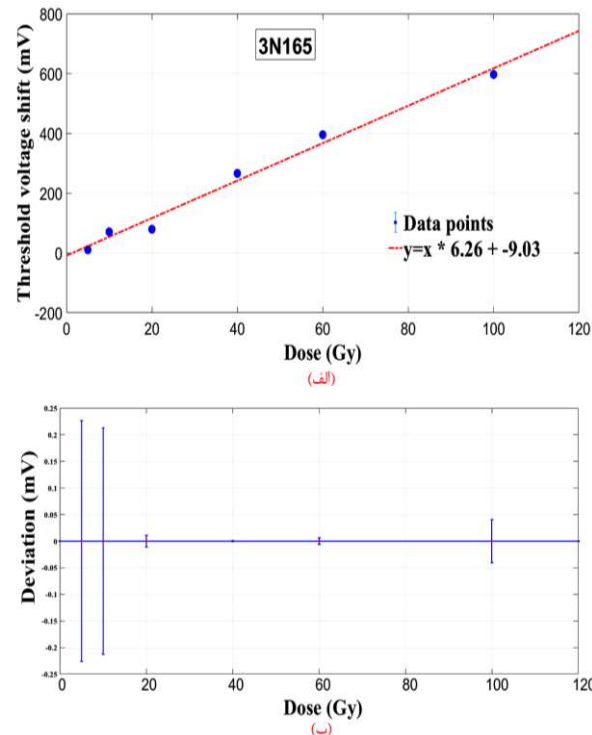
شکل (۹): منحنی ضریب هدایت متقابل-ولتاژ و جریان-ولتاژ ترانزیستور ماسفت J177.



شکل (۱۰): وابستگی دمایی ولتاژ آستانه ترانزیستورهای J177

در شکل ۱۱ تغییرات ولتاژ آستانه ترانزیستور J177 که از ترانزیستورهای JFET نوع P در دزهای مختلف است به همراه خطای مربوط به هر کدام از داده‌ها نشان داده شده است. روند تغییرات ولتاژ آستانه نشان‌دهنده تقریباً خطی بودن این تغییرات است که خط برآششده نیز در شکل نمایش داده شده است. شبی این نمودار بیانگر حساسیت این قطعه در میدان پرتویی است که حدود $0/2 \pm 0/96 \text{ mV/Gy}$ است. مقدار خطای این پارامتر مربوط به انحراف از خطی بودن کامل می‌باشد.

تغییرات ولتاژ آستانه ترانزیستور 3N165 که از ترانزیستورهای ماسفت نظامی در یک بسته‌بندی فلزی با ۲ عدد ترانزیستور نوع P است در دزهای مختلف به همراه خطای مربوط به هر کدام از داده‌ها در شکل ۸ نشان داده شده است. در اینجا نیز خط برآششده نشان از روند تغییرات ولتاژ آستانه تقریباً خطی با دز می‌باشد. حساسیت این قطعه در میدان پرتویی در حدود $0/75 \pm 0/26 \text{ mV/Gy}$ است.

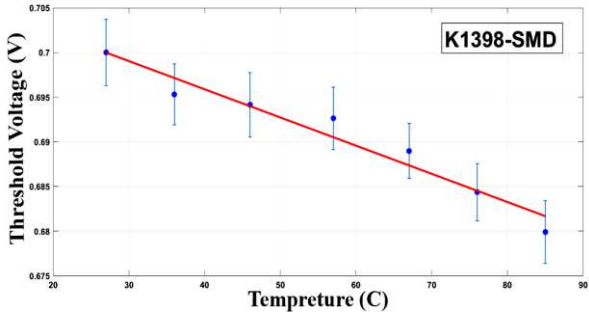


شکل (۸): تغییرات ولتاژ آستانه ترانزیستور 3N165 در دزهای مختلف
ب) خطای مربوط به هر کدام از داده‌ها.

منحنی مشخصه‌های I-V و مشخصه‌های $V_{\text{g}}-V_{\text{d}}$ برای تعیین ولتاژ آستانه ماسفت J177 در شکل ۹ نشان داده شده است. این منحنی تحت ولتاژ درین-سورس ۱۰ میلی‌ولت ثبت شده است. ولتاژ آستانه به دست آمده در شرایط دمای محیط برابر با $0/27 \text{ V} \pm 0/73 \text{ mV}$ می‌باشد. این حساسیت تقریباً یک ششم ترانزیستور ماسفت 3N165 از نوع P می‌باشد.

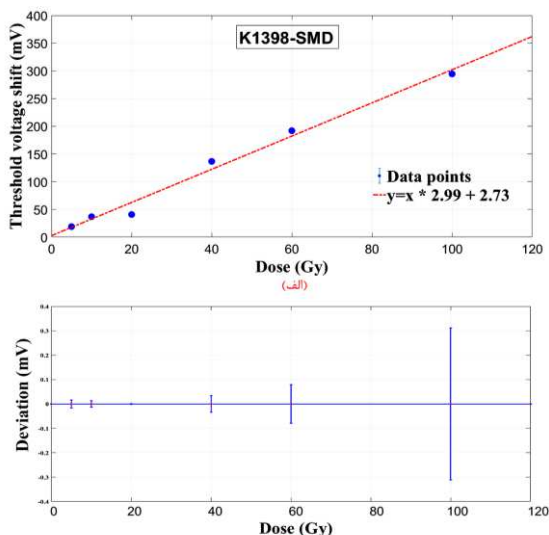
وابستگی دمایی ولتاژ آستانه ترانزیستورهای J177 در شکل ۱۰ نشان داده شده است. در هر دما سه ترانزیستور اندازه‌گیری شده است و مقادیر به صورت میانگین و خطای آن

آورده شده است. در این جا نیز ملاحظه می شود که مقدار ولتاژ آستانه ترانزیستورها به صورت خطی با دما تغییر می کند. ضریب تغییرات دمایی برای این نوع ترانزیستورها برابر $14/3 \pm 0/5 \text{ mV}^{\circ}\text{C}$ اندازه گیری شده است.

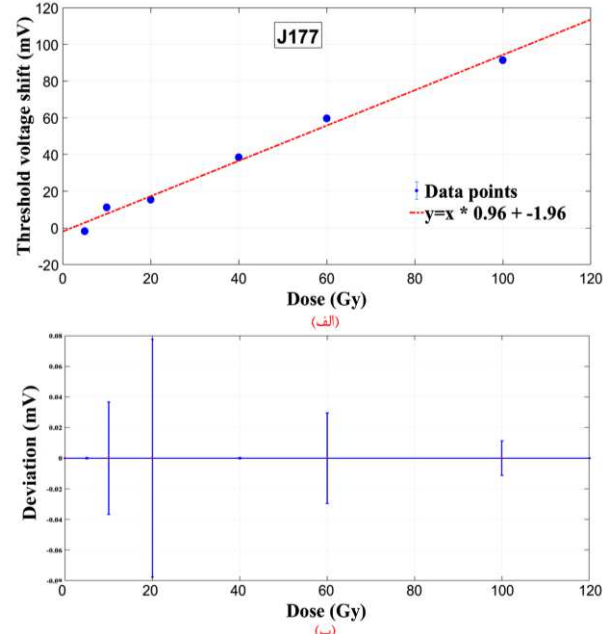


شکل (۱۳): وابستگی دمایی ولتاژ آستانه ترانزیستورهای K1398

در این سامانه از ترانزیستورهای نوع SMD برای کاربرد در نواحی بسیار کوچک نیز استفاده شده است. در شکل ۱۴، تغییرات ولتاژ آستانه ترانزیستور smd-k1398 که از ترانزیستورهای ماسفت با سوچینگ سرعت بالا از نوع N در دزهای مختلف است به همراه خطای مربوط به هر کدام از داده ها نشان داده شده است. این قطعه روند تغییرات ولتاژ آستانه تقریباً خطی نسبت به دز با حساسیت در حدود $2/99 \pm 0/95 \text{ mV/Gy}$ است. این حساسیت تقریباً ۳ برابر نوع معمولی این ترانزیستور می باشد.

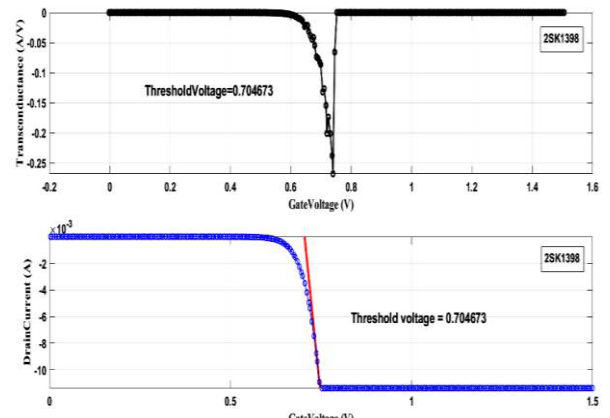


شکل (۱۴): تغییرات ولتاژ آستانه ترانزیستور smd-k1398 در دزهای مختلف، ب) خطای مربوط به هر کدام از داده ها.



شکل (۱۱): (الف) تغییرات ولتاژ آستانه ترانزیستور J177 در دزهای مختلف، ب) خطای مربوط به هر کدام از داده ها.

منحنی مشخصه های $I-V$ و مشخصه های g_m-V_g برای تعیین ولتاژ آستانه ماسفت K1398 در شکل ۱۲ نشان داده شده است. این منحنی تحت ولتاژ درین-سورس ۱۰ میلی ولت ثبت شده است. ولتاژ آستانه به دست آمده در شرایط دمای محیط $V = 0/004 \pm 0/704 \text{ V}$ می باشد.



شکل (۱۲): منحنی ضریب هدایت متقابل-ولتاژ و جریان-ولتاژ ترانزیستور ماسفت K1398

در شکل ۱۳، وابستگی دمایی ولتاژ آستانه ترانزیستورهای K1398 نشان داده شده است. در هر دما سه ترانزیستور اندازه گیری شده است و مقادیر به صورت میانگین و خطای آن

k1398-smd ۰٪ خطا در هر میلی‌گری هستند. ترانزیستور

از ترانزیستورهای با حجم بسیار کم مورد استفاده در اندازه‌گیری‌های دز نقطه‌ای و کاربردهایی مانند پرتو درمانی می‌باشد. این ماسفت نیز دارای پاسخ تقریباً خطی و حساسیتی در حدود 3 mV/Gy و حدود ۰٪ خطا در هر میلی‌گری هستند که حساسیت بیشتری نسبت به نوع معمولی آن نشان داده است. ترانزیستور 3N165 از ترانزیستورهای ماسفت نظامی و تقریباً گران قیمت‌تری هستند که به علت حساسیت بیشتر آن‌ها (6 mV/Gy و حدود ۰٪ خطا در هر میلی‌گری) در دزهای کمتر نیز قابلیت استفاده دارند.

۵. قدردانی و تشکر

این مقاله بخشی از طرح پژوهشی با حمایت صندوق حمایت از پژوهشگران و فناوران کشور می‌باشد. هم‌چنین به‌این وسیله از تمامی پرسنل آزمایشگاه دزیمتری استاندارد ثانویه سازمان انرژی اتمی، کرج کمال تشکر و قدردانی را داریم.

۴. بحث و نتیجه‌گیری

در این کار یک سامانه دزیمتری بر مبنای قطعات نیمه‌رسانی ماسفت با قابلیت استفاده در میدان‌های پرتویی مانند تأسیسات پرتودهی و مأموریت‌های فضایی و مراکز پرتو درمانی و غیره معرفی شد. اندازه‌گیری دز پرتوهای گاما با استفاده از ترانزیستورهای ماسفت مختلف از نوع P و N انجام شد. پاسخ دزیمتری این ماسفت‌ها براساس جایه‌جایی ولتاژ آستانه آن‌ها است که از منحنی I-V آن‌ها استخراج می‌شود. کالیبراسیون پرتویی این دزیمترها با پرتودهی ماسفت‌ها در دزهای مختلف (از ۵ تا ۱۰۰ گری) در آزمایشگاه SSDL کرج انجام شده است. وابستگی دمایی این ترانزیستورها نیز با توجه به ضریب تغییرات دمایی در تمامی این اندازه‌گیری‌ها لحاظ شده است. ترانزیستور J177 از ترانزیستورهای ماسفت معمولی و ارزان قیمت و از نوع P می‌باشد. پاسخ این ماسفت‌ها به دز پرتویی مختلف تقریباً به صورت خطی بوده و طبق نتایج به دست آمده دارای حساسیتی در حدود 1 mV/Gy و حدود

۶. مراجع

- [1] W. Schimmerling. Space Radiation Dosimetry, NASA, (1998).
- [2] A. Ballesteros, L. Debarberis, W. Voorbraak, J. Wagemans and P. D'hondt. Open issues in reactor dosimetry, *Progress in Nuclear Energy*, 52(7) (2010) 615-619.
- [3] M.G. Stabin, M. Tagesson, S.R. Thomas, M. Ljungberg and S.E. Strand. Radiation dosimetry in nuclear medicine, *Applied Radiation and Isotopes*, 50(1) (1999) 73-87.
- [4] L. Frohlich. DOSFET-L02: An advanced online dosimetry system for radfet sensors, presented at the IBIC, UK, (2013).
- [5] L.J. Asensio, M.A. Carvajal , J.A. Lopez-Villanueva, M. Vilches, A.M. Lallena and A.J. Palma. Evaluation of a low-cost commercial mosfet as radiation dosimeter, *sensors and actuators A*, 125 (2006) 288-295.
- [6] S.J. Kim, K.W. Min and D. Ko. Use of a MOSFET for Radiation Monitoring in Space and Comparison with the NASA Trapped Particle Model, *Korean Physical Society*, 48 (2005) 865-869.
- [7] D.K Schroeder. Semiconductor material and device characterization, 2nd ed. NewYork: Wiley; (1998).
- [8] T.R. Oldham and F.B. McLean. Total ionizing dose effects in MOS oxides and devices, *Nuclear Science, IEEE Transactions on*, 50 (2003) 483-499.
- [9] X. Zhou, K.Y. Lim and D.A. Lim. simple and unambiguous definition of threshold voltage and its implications in deepsubmicron MOS device modeling, *IEEE Trans Electron Dev*, 46(4) (1999) 807–809.
- [10] H. Katto. Device parameter extraction in the linear region of MOSFET's, *IEEE Electron Dev Lett*, 18 (1997) 408–410.
- [11] J. Wang, M. Xu and C. Tan. An accurate relationship for determining the key parameters of MOSFETs by proportional difference operator meted, *Solid-State Electron*, 44 (2000) 959–962.
- [12] P.R. Karlsson and K.O. Jeppson. An efficient method for determining threshold voltage, series resistance and effective geometry of MOS transistors, *IEEE Trans Semicond Manuf*, 9 (1996) 215–222.
- [13] C. Tan, M. Xu and Z. Wang. Proportional difference operator method and its application in studying subthreshold behavior of MOSFETs. *Solid-State Electron*. 44 (2000) 1059–1067.
- [14] M.M. Lau, C.Y.T. Chiang, Y.T. Yeow and Z.Q. Yao. Measurement of VT and Leff using MOSFET gate-substrate capacitance, In: *Proceedings of the 1999 International Conference on Microelectronic Test Structures*, (1999) 152–155.
- [15] C. Galup-Montoro, M.C. Schneider, A.L. Koerich and R.L.O. Pinto. MOSFET threshold extraction from voltage-only measurements, *Electron Lett*, 30 (1994) 1458–1459.
- [16] F. Thomas and W.T. Holman. MOSFET threshold voltage extractor circuits based on square-law behavior, In: Sample S, editor. *IEEE 42nd Midwest Symp Cir Syst*, 2 (2000) 1118–1121.